

吗替麦考酚酸酯及其活性代谢物麦考酚酸的跨膜转运机制研究

余自成¹,田薇薇¹,马明华¹,刘霞¹,陈红君¹,陈红专²(1. 同济大学附属杨浦医院临床药学和药理学研究室,上海 200090; 2. 上海交通大学医学院药理学教研室,上海 200025)

摘要:目的 研究吗替麦考酚酸酯(mycophenolate mofetil, MMF)及其活性代谢物麦考酚酸(mycophenolic acid, MPA)的跨膜转运机制。方法 建立Caco-2细胞单层模型,进行吗替麦考酚酸酯及麦考酚酸转运实验,用LC-MS/MS方法测定转运实验样品中吗替麦考酚酸酯和麦考酚酸浓度,计算表观通透系数 P_{app} 和外排率 P_{ratio} ,评价药物转运及外排作用,P-糖蛋白(P-glycoprotein, P-gp)抑制剂维拉帕米用于评价P-gp在吗替麦考酚酸酯和麦考酚酸肠道吸收转运中的作用。结果 麦考酚酸在10、50和100 $\mu\text{mol} \cdot \text{L}^{-1}$ 的双向转运的表观通透系数 $P_{app,ab}$ [和 $P_{app,ba}$]分别为 $(9.70 \pm 0.40) \times 10^6 \text{ cm} \cdot \text{s}^{-1}$ [$(13.52 \pm 0.28) \times 10^6 \text{ cm} \cdot \text{s}^{-1}$]、 $(9.35 \pm 0.62) \times 10^6 \text{ cm} \cdot \text{s}^{-1}$ [$(11.38 \pm 0.59) \times 10^6 \text{ cm} \cdot \text{s}^{-1}$]和 $(8.69 \pm 0.69) \times 10^6 \text{ cm} \cdot \text{s}^{-1}$ [$(10.53 \pm 0.64) \times 10^6 \text{ cm} \cdot \text{s}^{-1}$];外排率 P_{ratio} 分别为1.39、1.22和1.22,维拉帕米明显降低了外排率。吗替麦考酚酸酯在穿过Caco-2细胞单层转运过程中大部分被水解为麦考酚酸,麦考酚酸转运的量随转运时间延长而不断增加,而吗替麦考酚酸酯转运的量随时间无明显变化。维拉帕米对吗替麦考酚酸酯转运无明显影响。结论 麦考酚酸的跨膜转运受到由转运载体介导的主动转运外排作用影响,P-gp参与了麦考酚酸的跨膜转运。吗替麦考酚酸酯的跨膜转运不存在P-gp的作用,为被动转运。

关键词:吗替麦考酚酸酯;麦考酚酸;跨膜转运;机制;P-糖蛋白

doi:10.11669/cpj.2014.03.015 中图分类号:R285.5 文献标志码:A 文章编号:1001-2494(2014)04-0322-07

Investigation on the Mechanism of Transmembrane Transport of Mycophenolate Mofetil and Its Active Metabolite Mycophenolic Acid

YU Zi-cheng¹, TIAN Wei-wei¹, MA Ming-hua¹, LIU Xia¹, CHEN Hong-jun¹, CHEN Hong-zhuan²(1. Institute of Clinical Pharmacy and Pharmacology, Yangpu Hospital, Tongji University School of Medicine, Shanghai 200090, China; 2. Department of Pharmacology, Shanghai Jiaotong University School of Medicine, Shanghai 200025, China)

ABSTRACT: OBJECTIVE To investigate the mechanism of transmembrane transport of mycophenolate mofetil (MMF) and its active metabolite mycophenolic acid (MPA). **METHODS** Caco-2 cell monolayer model was developed for MMF and MPA transport experiment, and the LC-MS/MS method was used for the determination of MMF and MPA concentration in transport medium. The apparent permeability coefficient (P_{app}) and efflux ratio (P_{ratio}) were calculated and used for the evaluation of the ability of drug transport and drug efflux across Caco-2 cell monolayer. **RESULTS** The P_{app} of MPA in two-way transport experiment ($P_{app,ab}$ and $P_{app,ba}$) at 10, 50 and 100 $\mu\text{mol} \cdot \text{L}^{-1}$ were $(9.70 \pm 0.40) \times 10^6 \text{ cm} \cdot \text{s}^{-1}$ [$(13.52 \pm 0.28) \times 10^6 \text{ cm} \cdot \text{s}^{-1}$], $(9.35 \pm 0.62) \times 10^6 \text{ cm} \cdot \text{s}^{-1}$ [$(11.38 \pm 0.59) \times 10^6 \text{ cm} \cdot \text{s}^{-1}$], $(8.69 \pm 0.69) \times 10^6 \text{ cm} \cdot \text{s}^{-1}$ [$(10.53 \pm 0.64) \times 10^6 \text{ cm} \cdot \text{s}^{-1}$], respectively. P_{ratio} were 1.39, 1.22 and 1.22, respectively. P_{ratio} of MPA was reduced by verapamil, a well-known P-glycoprotein inhibitor. MMF was mostly hydrolyzed to MPA during the transport process across the Caco-2 cell monolayer. The amount of MPA transported increased with time, but the amount of MMF transported changed not significantly over time and no significant effect of verapamil was observed. **CONCLUSION** The transmembrane transport of MPA is affected by active transport efflux mediated by transporter with P-gp involved. No effect of P-gp is found in MMF transmembrane transport, which is passive transport.

KEY WORDS: mycophenolate mofetil; mycophenolic acid; transmembrane transport; mechanism; P-glycoprotein

吗替麦考酚酸酯(mycophenolate mofetil, MMF)是一种重要的免疫抑制药物,已获批准用于肾脏、肝脏和心脏移植预防器官排异反应,该

药物现已成为首选抗代谢增殖类免疫抑制药物,在各种免疫抑制方案中广泛应用^[1-2]。MMF为前体药物,口服给药后转变为活性产物麦考酚

作者简介:余自成,男,博士,主任药师 研究方向:临床药学和临床药理学 Tel/Fax:(021)65690520-361 E-mail:yzcheng666@hotmail.com

酸(mycophenolic acid, MPA)发挥其免疫抑制作用。MMF 口服给药后其活性产物 MPA 药动学在患者个体间及个体内存在显著变异性,剂量归一化的 MPA-AUC 变异幅度达十倍以上^[3-5]。MPA 药动学与药效学的相关关系在临幊上已得到广泛确认,MPA 药动学变异会导致不同的临幊结果^[6-7]。了解 MMF 和 MPA 的跨膜转运机制,评价 P-糖蛋白(P-glycoprotein, P-gp)在二者肠道吸收转运中的作用,对于进一步研究药物吸收转运过程中药物相互作用,为临幊合理用药可提供科学依据。本实验阐明了 MMF 和 MPA 跨膜转运机制,现将研究结果进行报道。

1 仪器与材料

1.1 仪器

Agilent 1200 系列高效液相色谱系统,包括 Quat Pump G1311A 四元泵、G1329A 自动进样器、G1314B 可变波长紫外检测器、G1322A 在线真空脱气机、G1316A 柱温箱(安捷伦科技公司, USA); Agilent 6410 Triple Quad LC/MS, Agilent Mass Hunter Workstation 软件(安捷伦科技公司, USA)。Centrifuge 5804R 型低温高速离心机(Eppendorf 公司, Germany), Varioskan Flash 全波长多功能读数仪(Thermo Scientific 公司), NUAIRE 生物安全柜(Class II)(NUAIRE 公司, USA), 水套式恒温 CO₂培养箱(Thermo Electron 公司, USA), 荧光倒置显微镜(OLYMPUS IX70)(OLYMPUS 公司, Japan), Millicell®-ERS 细胞电位仪(Millipore 公司, USA), STX-100M 电极(World Precision Instruments 公司, Sarasota, FL), Bio-Rad 680 型酶标仪(Bio-Rad, Hercules 公司, CA, USA), Milli-Q 超纯水系统(Millipore 公司, USA)。

1.2 药品、试剂与材料

MMF 对照品(纯度 99.0%, 批号: CC00020011, Roche Diagnostics GmbH, Mannheim, Germany); MPA 对照品(纯度 99.8%, 批号: 1150383, Roche Bioscience, Palo Alto, CA); 内标吲哚美辛对照品(IND, 纯度 99.2%, 批号: 115K0689, Sigma-Aldrich 公司, USA); 维拉帕米对照品(VER, 纯度 99.1%, 批号: 100223-200102, 中国药品生物制品检定所); Caco-2 细胞(上海细胞库); 胰蛋白酶-EDTA(Gibco 公司, USA); 磷酸盐缓冲液(PBS, 0.01 mol·L⁻¹, pH 7.25)(Gibco 公司, USA); 胎牛血清(FBS, Gibco 公司, Invitrogen, USA); 10 000 u·mL⁻¹青-链霉素双

抗(吉诺生物医药技术公司); 非必需氨基酸(Gibco 公司, Invitrogen, USA); Dulbecco's Modified Eagle's Medium 培养基(DMEM/HIGH, SH30022.01B)(HyClone 公司, USA); 50 cm² 细胞培养瓶(Corning Costar 公司, USA); 24 孔细胞培养板(Corning Costar 公司, USA); Millicell 悬挂式细胞培养小室(PIRP12R48, 1.0 μm, Millipore 公司, USA)。甲醇为色谱纯, 其他试剂均为分析纯。

2 实验方法

2.1 溶液配制

2.1.1 Hank's 平衡盐溶液(HBSS)配制 精密称取 CaCl₂ 140 mg、KCl 400 mg、KH₂PO₄ 60 mg、MgCl₂·6H₂O 100 mg、NaCl 8 g、MgSO₄·7H₂O 100 mg、NaHCO₃ 350 mg、Na₂HPO₄ 48 mg、D-glucose 4.5 g、HEPES 5.95 g 加超纯水溶解并稀释至 1 000 mL, 用 1 mol·L⁻¹ NaOH 调 pH 至 7.4, 经 0.22 μm 微孔滤器过滤除菌, 分装, 置于 4 ℃冰箱贮存备用。

2.1.2 MMF、MPA 及 VER 工作液配制 精密称取 MMF 对照品 8.67 mg 和 MPA 对照品 6.41 mg 分别于 2 mL 量瓶中用适量 DMSO 溶解后用 HBSS 液稀释至刻度, 摆匀, 即得浓度均为 10 mmol·L⁻¹ 的 MMF 和 MPA 贮备液, 将此贮备液分别用 HBSS 液稀释成浓度均为 10、50 及 100 μmol·L⁻¹ 的工作液(DMSO 体积比 <1%)备用。另外, 精密称取 VER 对照品 11.36 mg 于 5 mL 量瓶中用适量 DMSO 溶解后用 HBSS 液稀释至刻度, 摆匀, 即得浓度均为 5 mmol·L⁻¹ 的 VER 贮备液, 将此贮备液用 HBSS 液稀释成浓度为 25 μmol·L⁻¹ 的工作液(DMSO 体积比 <1%)备用。

2.1.3 含 VER 的 MMF、MPA 工作液配制 精密称取 MMF、MPA 对照品, 按照“2.1.2”项下方法操作, 用 VER 工作液(含 VER 25 μmol·L⁻¹)替代 HBSS 液配制 MMF 及 MPA 浓度均为 10、50 和 100 μmol·L⁻¹的工作液备用。

2.2 Caco-2 细胞单层模型的建立^[8]

将 Caco-2 细胞接种于 50 cm² 细胞培养瓶(corning)中, 培养液为 DMEM 培养基(含 FBS 浓度为 10%, 青-链霉素双抗浓度为 100 U·mL⁻¹, 非必需氨基酸浓度为 1%), 置于 37 ℃、5% CO₂ 培养箱中培养。细胞接种 24 h 后更换培养液, 以后隔天换液, 约 4~5 d 细胞融合达 90% 后传代, 用经 37 ℃预热的消化液(0.25% 胰蛋白酶)在室温下消化 1~3 min, 传代比率为 1:3。取对数生长期细胞, 用胰蛋

白酶消化制成细胞悬液,接种到 Millicell 小室内(细胞接种密度 1×10^5 个 \cdot mL $^{-1}$),每个小室内加细胞悬液 0.2 mL,Millicell 小室外 24 孔 Corning 细胞培养板每孔加培养液 1.25 mL;第一周隔天换液,之后两周每天换液;接种 5 d 后用细胞电位仪测定跨上皮细胞电阻 (transepithelial electrical resistance, TEER),以后每 3 d 测 1 次(一般约 21 d 模型建成)。

2.3 药物转运实验

2.3.1 MMF、MPA 在 Caco-2 细胞单层的双向转运

将已建成 Caco-2 细胞单层模型的 Millicell 细胞培养小室弃去培养基,加 HBSS 液于 37 °C、5% CO₂ 培养箱内共浴 20 min,然后用 HBSS 液温和冲洗 3 次。首先,进行 A→B 池转运实验,A 池加入 MMF 或 MPA 工作液 0.2 mL,B 池加入空白 HBSS 液 1.25 mL,置于 37 °C、5% CO₂ 培养箱中培养,分别于 30、60、90、120 和 180 min 在 B 池中取样 100 μL,每次取样后补加等量空白 HBSS 液,实验过程中及实验后测定 TEER 值;然后,进行 B→A 池转运实验,A 池加入空白 HBSS 液 0.2 mL,B 池加入 MMF 或 MPA 工作液 1.25 mL,置于 37 °C、5% CO₂ 培养箱中培养,分别于 30、60、90、120 和 180 min 在 A 池中取样 100 μL,每次取样后补加等量空白 HBSS 液,实验过程中及实验后测定 TEER 值。转运实验样品中 MMF 和 MPA 浓度用 LC-MS/MS 方法测定^[9]。

2.3.2 VER 对 MMF、MPA 双向转运的影响 将已建成 Caco-2 细胞单层模型的 Millicell 细胞培养小室弃去培养基,加 HBSS 液于 37 °C、5% CO₂ 培养箱内共浴 20 min,然后用 HBSS 液温和冲洗 3 次,再将 VER 工作液加入 A 池和 B 池中,置于 37 °C,5% CO₂ 培养箱内培养,分别于 30、60、90、120 和 180 min 在 B 池中取样 100 μL,每次取样后补加等量 VER 工作液,实验过程中及实验后测定 TEER 值;然后,进行 B→A 池转运实验,A 池加入 VER 工作液 0.2 mL,B 池加入 MMF 或 MPA 工作液(含 VER) 1.25 mL,置于 37 °C,5% CO₂ 培养箱内培养,分别于 30、60、90、120 和 180 min 在 A 池中取样 100 μL,每次取样后补加等量 VER 工作液,实验过程中及实验后测定 TEER 值;转运实验样品中 MMF 和 MPA 浓度用 LC-MS/MS 方法测定^[9]。

3 数据处理

表观通透系数 P_{app} 和外排率 P_{ratio} 分别按照式(1)和(2)计算^[10-12]:

$$P_{app} = (dQ/dt)(A \times c_0) \quad (1)$$

其中, P_{app} 反映药物转运能力的大小, dQ 为 dt 时间内的药物转运量, A 为表面积(此实验中为 0.33 cm²), c_0 为供给池中 MMF 或 MPA 的初始浓度。 P_{app} 单位为距离/时间 (cm \cdot s $^{-1}$)。

$$P_{ratio} = P_{app,ba}/P_{app,ab} \quad (2)$$

其中, P_{ratio} 代表药物净外排能力大小,同时可以预测外排作用引起的药物口服吸收减弱的程度。 $P_{app,ba}$ 为分泌表观通透系数, $P_{app,ab}$ 为吸收表观通透系数。

各组间差异显著性判定采用 t 检验。

4 结果

4.1 MPA 在 Caco-2 细胞单层的双向转运实验

MPA 在 10、50 和 100 μmol·L $^{-1}$ 浓度进行转运实验,MPA 穿过 Caco-2 细胞单层从 A 侧向 B 侧转运 $P_{app,ab}$ 经时变化见图 1。从图 1 中可以看出, $P_{app,ab}$ 在 90 min 之前随时间有较大幅度增加,此后增幅变小。

转运 180 min 时,MPA 穿过 Caco-2 细胞单层从 A 侧向 B 侧转运 $P_{app,ab}$ 和从 B 侧向 A 侧转运 $P_{app,ba}$ 随浓度变化见图 2。从图 2 中可以看出, $P_{app,ba}$ 随浓度增加明显降低,而 $P_{app,ab}$ 随浓度增加降低不明显,在 3 个不同浓度 MPA 从 B 侧向 A 侧转运均明显快于从 A 侧向 B 侧转运,见表 1。在 VER 存在情况下, MPA 从 A 侧向 B 侧的吸收转运均有明显增加,而从 B 侧向 A 侧的分泌转运中、低浓度时明显减少,在高浓度时降低不明显,转运 180 min 时,MPA 穿过 Caco-2 细胞单层的吸收和分泌表观通透系数 P_{app} 改变情况见图 3。在 VER 存在情况下的外排率 P_{ratio} 有明显降低,见表 1。

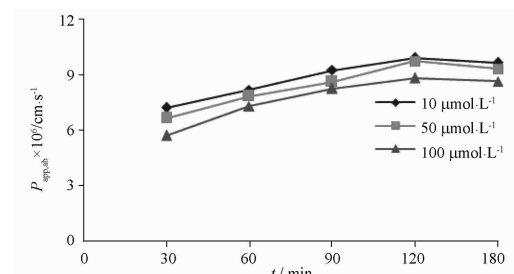


图 1 MPA 的 $P_{app,ab}$ 经时变化图. $n=3, \bar{x} \pm s$

Fig. 1 Time-dependent change of MPA $P_{app,ab}$. $n=3, \bar{x} \pm s$

4.2 MMF 在 Caco-2 细胞单层的双向转运实验

4.2.1 MMF、MPA 穿过 Caco-2 细胞单层转运量的经时变化 在将 MMF 加入到 Caco-2 细胞单层模型 A 侧或 B 侧供池进行转运实验时,发现转运到对侧(B 侧或 A 侧)接收池中的化合物主要是 MPA 而不是 MMF,此结果提示 MMF 在穿过 Caco-2 细胞单层转运过程中大部分被水解为 MPA。MMF 和 MPA 穿过 Caco-2 细胞单层转运的量随时间变化见图 4。由图 4 中可以看出,在 MMF 双向转运过程中,转运到对侧接收池中 MPA 的量随转运时间延长而不断增加,而转运到对侧接收池中 MMF 的量随时间无明显变化。

4.2.2 转运实验 180 min 后 MMF、MPA 在供池和接收池中量的差异 在 MMF 由 A 侧向 B 侧转运实验时,在 MMF 的 3 个不同浓度(10, 50 和 100 $\mu\text{mol} \cdot \text{L}^{-1}$),转运实验 180 min 后 A 侧供池中 MMF 量均为 B 侧接收池中量的 8 倍左右;而在由 B 侧向 A 侧转运实验时,转运实验 180 min 后 B 侧供池中 MMF 量与 A 侧接收池量的比例均在 30 倍左右。转运实验 180 min 后 MMF 存在于 A 池及 B 池的量在 VER 存在情况下无明显差异,A 池与 B 池中 MMF 量的比例亦无明显差异($P > 0.05$),见表 2。

在 MMF 转运实验过程中发现,MPA 不仅存在于接收池,而且在供池中也存在。在 VER 存在情况下,MPA 由 A 侧向 B 侧转运量增加,而由 B 侧向 A 侧转运量减少。在 MMF 由 A 侧向 B 侧转运实验

时,转运实验 180 min 后 A 池中 MPA 量显著高于 B 池中量,在 MMF 低浓度(10 $\mu\text{mol} \cdot \text{L}^{-1}$)时,A 池中 MPA 量与 B 池中量比例近于 30 倍,VER 存在情况下 B 侧接收池中 MPA 量有明显增加,此比例明显下降($P < 0.05$),而在中、高浓度(50 和 100 $\mu\text{mol} \cdot \text{L}^{-1}$)时,A 池中 MPA 量与 B 池中量比例近于 20 倍,VER 存在情况下 B 侧接收池中 MPA 量增加不明显,此比例亦无明显改变($P > 0.05$);在 MMF 由 B 侧向 A 侧转运实验时,转运实验 180 min 后 B 池中 MPA 量与在 A 池中量无明显差异,而在 VER 存在情况下 B 池中 MPA 量均有明显增加,B 池中 MPA 量均明显高于 A 池中量($P < 0.05$),A 池与 B 池中 MPA 量比例下降,均有极显著差异($P < 0.01$),见表 3。

5 讨 论

本实验首次对 MMF 及其活性代谢物 MPA 穿过

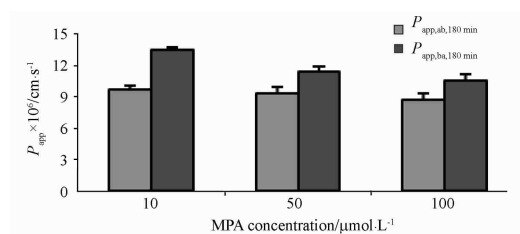


图 2 MPA 转运随浓度变化图. $n = 5, \bar{x} \pm s$

Fig. 2 Concentration-dependent change of MPA transported through Caco-2 cell monolayer. $n = 5, \bar{x} \pm s$

表 1 VER 对 MPA P_{app} 的影响. $n = 3, \bar{x} \pm s$

Tab. 1 $P_{\text{app},\text{ab}} (\times 10^6)$ and $P_{\text{app},\text{ba}} (\times 10^6)$ of MPA without and with VER. $n = 3, \bar{x} \pm s$

| c / $\mu\text{mol} \cdot \text{L}^{-1}$ | MPA | | | MPA + VER | | |
|--|--|--|--------------------|--|--|--------------------|
| | $P_{\text{app},\text{ab}} / \text{cm} \cdot \text{s}^{-1}$ | $P_{\text{app},\text{ba}} / \text{cm} \cdot \text{s}^{-1}$ | P_{ratio} | $P_{\text{app},\text{ab}} / \text{cm} \cdot \text{s}^{-1}$ | $P_{\text{app},\text{ba}} / \text{cm} \cdot \text{s}^{-1}$ | P_{ratio} |
| 10 | 9.70 ± 0.40 | 13.52 ± 0.28 | 1.39 | 11.79 ± 1.96 | 8.82 ± 0.36 | 0.76 ¹⁾ |
| 50 | 9.35 ± 0.62 | 11.38 ± 0.59 | 1.22 | 10.71 ± 0.47 | 8.18 ± 0.27 | 0.77 ¹⁾ |
| 100 | 8.69 ± 0.69 | 10.53 ± 0.64 | 1.22 | 11.38 ± 0.25 | 9.68 ± 0.63 | 0.85 ¹⁾ |

注:与 MPA 组比较,¹⁾ $P < 0.01$

Note: vs MPA,¹⁾ $P < 0.01$ very significant difference

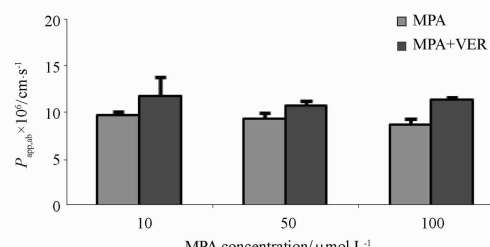


图 3 VER 对 MPA 双向转运的影响

Fig. 3 Influence of VER on MPA transport through Caco-2 cell monolayer

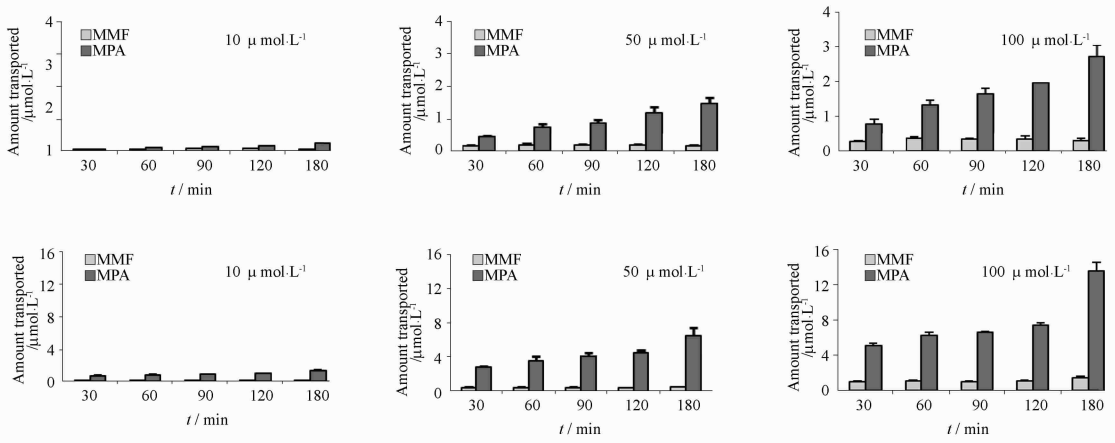


图4 MMF 转运过程中 MMF、MPA 穿过 Caco-2 细胞单层转运量随时间变化

A – A→B 方向; B – B→A 方向

Fig. 4 Time-dependent change of MMF and MPA transported through Caco-2 cell monolayer during MMF transportation experiment

A – Apical-to-basolateral transport; B – Basolateral-to-apical transport

表2 MMF 双向转运 180 min 后 A 池和 B 池中 MMF 的量. $n = 3, \bar{x} \pm s$

Tab. 2 Amounts of MMF in apical and basolateral side after two-way transport of MMF for 180 min through Caco-2 cell monolayer. $n = 3, \bar{x} \pm s$

| Initial conc. of MMF / $\mu\text{mol} \cdot \text{L}^{-1}$ | Analyte | Apical-to-basolateral transport | | | Basolateral -to-apical transport | | |
|---|-----------|---------------------------------|----------------------------|--------------------|----------------------------------|----------------------------|---------------------|
| | | A side | B side | Ratio (A to B) | A side | B side | Ratio(B to A) |
| 10 | MMF | 0.70 ± 0.01 | 0.08 ± 0.01 | 8.80 | 0.13 ± 0.01 | 4.61 ± 0.21 | 34.82 |
| | MMF + VER | 0.72 ± 0.03 ¹⁾ | 0.09 ± 0.005 ¹⁾ | 8.02 ¹⁾ | 0.15 ± 0.01 ¹⁾ | 5.12 ± 0.35 ¹⁾ | 33.94 ¹⁾ |
| 50 | MMF | 1.30 ± 0.09 | 0.17 ± 0.02 | 7.62 | 0.54 ± 0.02 | 20.37 ± 1.01 | 37.40 |
| | MMF + VER | 1.60 ± 0.18 ¹⁾ | 0.19 ± 0.02 ¹⁾ | 8.28 ¹⁾ | 0.58 ± 0.05 ¹⁾ | 25.15 ± 4.18 ¹⁾ | 43.50 ¹⁾ |
| 100 | MMF | 2.49 ± 0.11 | 0.31 ± 0.06 | 8.30 | 1.47 ± 0.15 | 36.54 ± 0.50 | 25.06 |
| | MMF + VER | 2.50 ± 0.22 ¹⁾ | 0.29 ± 0.01 ¹⁾ | 8.49 ¹⁾ | 1.55 ± 0.05 ¹⁾ | 38.17 ± 4.30 ¹⁾ | 24.56 ¹⁾ |

注:与 MMF 组比较,¹⁾ $P > 0.05$

Note: vs MMF,¹⁾ $P > 0.05$ no significant difference

表3 MMF 双向转运 180 min 后 A 池和 B 池中 MPA 的量. $n = 3, \bar{x} \pm s$

Tab. 3 Amounts of MPA in apical and basolateral side after two-way transport of MMF for 180 min through Caco-2 cell monolayer. $n = 3, \bar{x} \pm s$

| Initial conc. of MMF / $\mu\text{mol} \cdot \text{L}^{-1}$ | Analyte | apical-to-basolateral transport | | | basolateral -to-apical transport | | |
|---|-----------|---------------------------------|---------------------------|---------------------|----------------------------------|--------------------------------|--------------------|
| | | A side | B side | Ratio(A to B) | A side | B side | Ratio(B to A) |
| 10 | MMF | 6.66 ± 0.23 | 0.25 ± 0.02 | 26.28 | 1.39 ± 0.09 | 1.53 ± 0.03 ⁴⁾ | 1.10 |
| | MMF + VER | 6.28 ± 0.14 | 0.31 ± 0.02 ²⁾ | 20.66 ³⁾ | 1.24 ± 0.02 | 1.90 ± 0.08 ^{3), 5)} | 1.53 ²⁾ |
| 50 | MMF | 25.43 ± 1.94 | 1.47 ± 0.19 | 17.53 | 6.56 ± 0.95 | 7.50 ± 0.36 ⁴⁾ | 1.14 |
| | MMF + VER | 31.68 ± 1.20 | 1.80 ± 0.10 ¹⁾ | 17.59 ¹⁾ | 6.29 ± 0.10 | 10.78 ± 0.33 ^{3), 5)} | 1.71 ²⁾ |
| 100 | MMF | 48.27 ± 1.15 | 2.72 ± 0.31 | 17.95 | 13.89 ± 1.09 | 13.59 ± 1.33 ⁴⁾ | 0.98 |
| | MMF + VER | 53.26 ± 1.48 | 3.44 ± 0.07 ¹⁾ | 15.50 ¹⁾ | 10.92 ± 0.28 | 19.06 ± 0.74 ^{3), 5)} | 1.75 ²⁾ |

注:与 MMF 组比较,¹⁾ $P > 0.05$,²⁾ $P < 0.05$,³⁾ $P < 0.01$;与 A 侧比较,⁴⁾ $P > 0.05$,⁵⁾ $P < 0.05$

Note: vs MMF,¹⁾ $P > 0.05$ no significant different,²⁾ $P < 0.05$ significant difference,³⁾ $P < 0.01$ very significant difference vs MPA,⁴⁾ $P > 0.05$ no significant difference,⁵⁾ $P < 0.05$ significant difference

Caco-2 细胞单层的跨膜转运机制进行了研究。实验 MPA 转运时发现, $P_{app,ba}$ 及 $P_{app,ab}$ 均随浓度增加而降低, 但 $P_{app,ba}$ 随浓度降低相比 $P_{app,ab}$ 更加明显, 此结

果说明 MPA 穿过 Caco-2 细胞单层的跨膜转运存在转运载体介导的主动转运机制。在 MPA 浓度由 10 $\mu\text{mol} \cdot \text{L}^{-1}$ 增加到 50 $\mu\text{mol} \cdot \text{L}^{-1}$ 时, $P_{app,ba}$ 由

$13.52 \times 10^{-6} \text{ cm} \cdot \text{s}^{-1}$ 降低到 $11.38 \times 10^{-6} \text{ cm} \cdot \text{s}^{-1}$, 有极显著差异 ($P < 0.01$), 而在浓度由 $50 \mu\text{mol} \cdot \text{L}^{-1}$ 增加到 $100 \mu\text{mol} \cdot \text{L}^{-1}$ 时, $P_{app, ba}$ 由 $11.38 \times 10^{-6} \text{ cm} \cdot \text{s}^{-1}$ 降低到 $10.53 \times 10^{-6} \text{ cm} \cdot \text{s}^{-1}$, 无显著差异 ($P > 0.05$), 这说明在高浓度时转运载体接近饱和, 由转运载体介导的主动转运外排作用影响变小, 表明 MPA 从 B 侧向 A 侧主动转运的转运载体具有可饱和性。

在不同浓度情况下, MPA 由 A 侧向 B 侧的吸收转运速度均明显慢于 B 侧向 A 侧的分泌转运速度, 说明 MPA 的吸收转运受 P-gp 等转运载体介导的主动转运外排作用的影响。极化的 Caco-2 细胞在 A 侧细胞膜大量表达 P-gp, MPA 在由 A 侧向 B 侧的吸收转运过程中与之结合而被逆向外排至 A 侧, 结果使得吸收转运速度小于分泌转运速度。

实验发现, MMF 在穿过 Caco-2 细胞单层转运过程中大部分被水解为 MPA, 根据样品稳定性实验结果, MMF 在 37°C , 于 pH 7.4 HBSS 液中至少在 4 h 内保持稳定, 没有水解发生, 说明 MMF 在转运过程中可能是受存在于 Caco-2 细胞的细胞膜及/或细胞质中酶的作用水解成为 MPA。有文献^[13-15] 报道, 一些前体药物在穿过 Caco-2 细胞单层转运过程中被水解为活性药物产物, Caco-2 细胞中存在大量羧酸酯酶 (carboxylesterases, CESs), 主要是 1 型羧酸酯酶 (carboxylesterase-1, hCE-1) 表达, 推测 MMF 在穿过 Caco-2 细胞单层转运过程中发生的水解可能也与该酶的作用有关, 但有待进一步研究确认。

在 MMF 由 A 侧向 B 侧的转运过程中, MPA 不仅存在于 B 侧接收池, 也存在于 A 侧供池, 提示 MMF 在被摄取进入 Caco-2 细胞后大部分被水解为 MPA, 然后, MPA 被外流至 A 池和 B 池。理论上说, MMF 水解生成的 MPA 在细胞内浓度相比 A 池和 B 池中浓度来说为最高, 因此, MPA 应该以相同的浓度扩散进入 A 池和 B 池。可是, 转运实验 180 min 后 MPA 存在于 A 池的量明显高于在 B 池的量, MMF 在低浓度 ($10 \mu\text{mol} \cdot \text{L}^{-1}$) 时为 30 倍左右, 在中、高浓度 (50 和 $100 \mu\text{mol} \cdot \text{L}^{-1}$) 时均接近 20 倍。MMF 在 Caco-2 细胞内被水解生成的 MPA 可能受 P-gp 作用被优先转运进入 A 池而不是 B 池。此结果也说明 MPA 的跨膜转运受到由转运载体介导的主动转运外排作用影响, 而且, 主动转运的转运载体具有可饱和性。

在 MMF 双向转运过程中, 转运到对侧接收池中 MMF 的量随时间无明显变化, 在 MMF 的 3 个不

同浓度 (10, 50 和 $100 \mu\text{mol} \cdot \text{L}^{-1}$), 转运实验 180 min 后供池与接收池中 MMF 量比例基本恒定, 此结果说明 MMF 的跨膜转运为被动转运。

维拉帕米 (VER) 是目前普遍采用的一种专属性较强的 P-gp 抑制剂, 广泛用于涉及 P-gp 的药物转运相关研究^[16-18]。为了研究 P-gp 是否参与了 MMF 及 MPA 的肠道摄取, 阐明二者肠道转运机制, 本实验评价了其对 MMF 及 MPA 跨膜转运的影响。在 MPA 转运实验中, 加入 VER 后, 分泌转运速度明显降低, 吸收转运速度明显增加, 在低、中浓度 (10 和 $50 \mu\text{mol} \cdot \text{L}^{-1}$) 时外排率 P_{ratio} 分别由 1.39 和 1.22 降低到 0.76 和 0.77, 前后存在极显著差异 ($P < 0.01$); 在高浓度 ($100 \mu\text{mol} \cdot \text{L}^{-1}$) 时外排率 P_{ratio} 由 1.22 降低到 0.85, 差异亦具有显著性 ($P < 0.05$)。此结果表明, P-gp 参与了 MPA 的肠道转运。

在 MMF 由 A 侧向 B 侧转运时, 低浓度情况下, 加入 VER 后转运实验 180 min 时 B 侧接收池中 MPA 量明显增加, A 池与 B 池中 MPA 量的比例明显降低; 在中、高浓度时, 转运实验 180 min 时 B 侧接收池中 MPA 量的增加及 A 池与 B 池中 MPA 量比例的降低受 VER 影响不明显。此结果说明, 在 MMF 低浓度时 MPA 的吸收转运以主动转运为主, 高浓度时以被动扩散为主。在低、中和高 3 个不同浓度 MMF 由 B 侧向 A 侧转运时, 转运实验 180 min 后存在于 B 池中 MPA 的量与在 A 池中的量无明显差异, 加入 VER 后 B 侧接收池中 MPA 量均明显增加, A 池与 B 池中 MPA 量的比例均明显降低, 说明 P-gp 参与了 MPA 的跨膜转运。

本实验结果表明, P-gp 参与了 MPA 的跨膜转运, 表明 MPA 肠道转运存在载体介导的主动转运及被动扩散 2 种机制, 低浓度时以主动转运为主, 而高浓度时则以被动扩散为主。MMF 在 Caco-2 细胞模型中的转运不存在 P-gp 的作用, 表明其肠道转运机制为被动扩散。MPA 药动学受多种因素的复杂影响, 在患者个体间和个体内存在广泛变异性^[19]。本课题研究证明了 P-gp 在 MPA 跨膜转运中的作用, 临床用药时应考虑 P-gp 介导的药物相互作用。

REFERENCES

- [1] ALLISON A G, EUGUI E M. Mechanisms of action of mycophenolate mofetil in preventing acute and chronic allograft rejection [J]. *Transplantation*, 2005, 80 (suppl 2): 181-190.
- [2] STAATZ C E, TETT S E. Clinical pharmacokinetics and pharmacodynamics of mycophenolate in solid organ transplant recipients [J]. *Clin Pharmacokinet*, 2007, 46 (1): 13-58.
- [3] PAWINSKI T, DURLIK M, SZLASKA I, et al. Comparison of

mycophenolic acid pharmacokinetic parameters in kidney transplant patients within the first 3 months post-transplant [J]. *J Clin Pharm Ther*, 2006, 31(1): 27-34.

[4] VAN HEST R M, MATHOT R A, VULTO A G, et al. Within-patient variability of mycophenolic acid exposure: Therapeutic drug monitoring from a clinical point of view [J]. *Ther Drug Monit*, 2006, 28(1):31-34.

[5] YU Z C, ZHOU P J, XU D, et al. Investigation on pharmacokinetics of mycophenolic acid in Chinese adult renal transplant patients [J]. *Br J Clin Pharmacol*, 2006, 62 (4):446-452.

[6] MICHEL M, JACQUES M, DJAMILA C E, et al. Correlation of mycophenolic acid pharmacokinetic parameters with side effects in kidney transplant patients treated with mycophenolate mofetil [J]. *Clin Chem*, 2001;47(1): 88-94.

[7] HALE M D, NICHOLLS A J, BULLINGHAM R E, et al. The pharmacokinetic-pharmacodynamic relationship for mycophenolate mofetil in renal transplantation [J]. *Clin Pharmacol Ther*, 1998, 64(6): 672-683.

[8] YU Z C, GAO Y, TIANW W, et al. Development and validation of Caco-2 cell monolayers-model of intestinal transport [J]. *Chin J Clin Pharm (中国临床药学杂志)*, 2012, 21 (4): 218-221.

[9] YU Z C, JIANG T, QU J Y, et al. Simultaneous determination of mycophenolate mofetil and mycophenolic acid in transport medium of Caco-2 cellmonolayers by HPLC-MS/MS [J]. *Pharm Care Res(药学服务与研究)*, 2012, 12(6):423-426.

[10] ZHOU S, FENG X, KESTELL P, et al. Transport of the investigational anti-cancer drug 5,6-dimethylxanthenone-4-acetic acid and its acyl glucuronide by human intestinal Caco-2 cells [J]. *Eur J Pharm Sci*, 2005, 24(5):513-524.

[11] CHENG C, BAHADDURI P M, POLL J E, et al. Rapid identifi-

cation of P-glycoprotein substrates and inhibitors [J]. *Drug Metab Dispos*, 2006, 34 (12):1976-1984.

[12] WANG Q, STRAB R, KARDOS P, et al. Application and limitation of inhibitors in drug-transporter interactions studies [J]. *Int J Pharm*, 2008, 356 (1-2):12-18.

[13] IMAI T, IMOTO M, SAKAMOTO H, et al. Identification of esterases expressed in Caco-2 cells and effects of their hydrolyzing activity in predicting human intestinal absorption [J]. *Drug Metab Dispos*, 2005, 33 (8):1185-1190.

[14] WILLIAMS E T, JONES K O, PONSLER G D, et al. The biotransformation of prasugrel, a new thienopyridine prodrug, by the human carboxylesterases 1 and 2 [J]. *Drug Metab Dispos*, 2008, 36 (7):1227-1232.

[15] IMAI T. Human carboxylesterase isozymes: Catalytic properties and rational drug design [J]. *Drug Metab Pharmacokinet*, 2006, 21 (3):173-185.

[16] SHA X Y, FANG X L, WU Y J. The *in vitro* kinetics of uptake, transport and efflux of 9-nitrocamptothecin in Caco-2 cell model [J]. *Acta Pharm Sin(药学学报)*, 2004, 39 (10):839-843.

[17] PERLOFF M D, STORMER E, VON MOLTKE L L, et al. Rapid assessment of P-glycoprotein inhibition and induction *in vitro* [J]. *Pharm Res*, 2003, 20 (8): 1177-1183.

[18] LI H, JIN H E, KIM W, et al. Involvement of P-glycoprotein, multidrug resistance protein 2 and breast cancer resistance protein in the transport of belotecan and topotecan in Caco-2 and MDCKII cells [J]. *Pharm Res*, 2008, 25 (11): 2601-2612.

[19] JIAO Z, ZHAN G M, LIANG H Q, et al. Population pharmacokinetics of mycophenolic acid in Chinese adult renaltransplant patients [J]. *Chin Pharm J (中国药学杂志)*, 2007, 42 (1): 57-61.

(收稿日期:2013-02-20)

国际药物经济学会(ISPOR)第六届亚太年会即将召开

国际药物经济学会(International Society for Pharmacoeconomics and Outcomes Research, ISPOR)是目前全球医药卫生经济研究领域规模最大的组织,其宗旨在于促进药物经济学,卫生经济学,以及健康结果研究的发展,评估卫生医疗干预手段在临床、经济等领域的成本效果,为政策制定者提供有科学价值的参考信息。

ISPOR 目前拥有来自 100 多个国家的 7000 多正式会员,此外在全球还有 65 个地区分会,分会成员超过 6 000 多人。ISPOR 每年有三次国际年会,包括北美年会、欧洲年会和拉丁美洲/亚太年会,ISPOR 通过其每年举办的国际年会促进全球药物经济学和结果研究的交流,每年在 ISPOR 国际年会汇报的研究成果总计达到 3 300 多篇。

2014 年 ISPOR 第六届亚太年会将于 9 月 6~9 日在北京国际会议中心召开,由 ISPOR 亚太联合会,中国药学会药物经济学专业委员会,北大中国卫生经济研究中心等机构联合举办。

ISPOR 网站:www.ispor.org

ISPOR 北京分会:http://www.ispor.org/regional_chapters/Beijing/index.asp

doi:10.11669/cpj.2014.04.016

[本刊讯]